

<http://journal.rmutp.ac.th/>

การดูดซับทางชีวภาพสีเย็บมอร์ดาเมิน บีด้วยรากผักตบชาวดั้ดแปร

สุดารัตน์ สมบัติศรี* ฉัตรพร พุทธิชน ศิริรัตน์ เนินกลาง สิริรัตน์ ลิศนันท์
และ กรกนก บุญเสริม

คณะวิทยาศาสตร์และศิลปศาสตร์ มหาวิทยาลัยเทคโนโลยีราชมงคลอีสาน
744 ถนนสุรนารายณ์ ตำบลในเมือง อำเภอเมือง จังหวัดนครราชสีมา 30000

รับบทความ 26 พฤษภาคม 2017; ตอบรับบทความ 15 สิงหาคม 2017

บทคัดย่อ

งานวิจัยนี้ศึกษาการดูดซับทางชีวภาพของสีเย็บมอร์ดาเมิน บีโดยใช้รากผักตบชาวดั้ดแปร โดยการทดลอง การดูดซับทำในถังปฏิกรณ์แบบวงและศึกษาอิทธิพลต่างๆต่อการดูดซับ ประกอบด้วย พื้อเชชของสารละลาย เวลา ในการดูดซับ ปริมาณตัวดูดซับ และความเข้มข้นของสีเย็บมอร์ดาเมิน บี ที่ความเข้มข้นเริ่มต้นของสีเย็บมอร์ดาเมิน บี 80 มิลลิกรัมต่อลิตร ค่าไฟอีช 6 เวลา 60 นาที เมื่อใช้ปริมาณตัวดูดซับ 0.1 กรัม ผลการวิจัยพบว่า การศึกษา จนนาสต์ของการดูดซับโดยใช้สมการปฏิกรณ์ริยาอันดับหนึ่งเทียมและปฏิกรณ์ริยาอันดับสองเทียมเพื่อคำนวนหาค่า คงที่อัตราการดูดซับ ความจุของการดูดซับที่สภาวะสมดุล และค่าสัมประสิทธิ์สหสมพัทธ์ พบร่วม ข้อมูลการทดลอง สอดคล้องกับสมการปฏิกรณ์ริยาอันดับสองเทียมและเมื่อนำแบบจำลองการดูดซับของแลงเมียร์และฟรุนเดลิช มาอธิบาย ไอโซเทอมของการดูดซับและค่าคงที่ไอโซเทอม พบร่วม ผลการทดลองสอดคล้องกับสมการแลงเมียร์ โดยรากผักตบชาวดั้ดแปรมีความสามารถในการดูดซับ 63 มิลลิกรัมต่อกิโลกรัม

คำสำคัญ: การดูดซับทางชีวภาพ; รากผักตบชาวดั้ดแปร; สีเย็บมอร์ดาเมิน บี

* ผู้นิพนธ์ประจำงาน โทร: +6644 233 000 (4313), อีเมลล์: ssombatsri@hotmail.com

<http://journal.rmutp.ac.th/>

Biosorption of Rhodamine B Dyes Using Modified Water Hyacinth Roots

Sudarat Sombatsri* Chattaporn Puttichon Sirirat Nernklang Sireerat Lisnund and Kornkanok Boomserm

Faculty of Sciences and Liberal Arts, Rajamangala University of Technology Isan
744 Suranarai Road, Muang, Nakhon Ratchasima 30000

Received 26 May 2017; accepted 15 August 2017

Abstract

The biosorption of Rhodamine B using modified water hyacinth roots was studied. The adsorption experiments were conducted in a batch setup. Parameters affecting the adsorption of Rhodamine B including pH of a solution, adsorption time, adsorbent dose, and dyes concentration were investigated. With the 80 mg/L Rhodamine B solution of pH 6.0, adsorption time of 60 min and 0.10 g of modified water hyacinth roots, the kinetic models, pseudo-first order and pseudo-second order kinetic model were applied to examine the kinetic adsorption. The adsorption kinetic data correlates with pseudo-second order kinetic model. The Langmuir and Freundlich adsorption models were applied to describe the isotherms and isotherm constants. Adsorption isotherm data correlates with Langmuir adsorption model. The maximum adsorption capacity of modified water hyacinth roots for Rhodamine B was found to be 63 mg/g

Keywords: Biosorption; modified water hyacinth roots; Rhodamine B

* Corresponding Author. Tel.: +6644 233 000 (4313), E-mail Address: ssombatsri@hotmail.com

1. บทนำ

ปัจจุบันปัญหาด้านสิ่งแวดล้อมโดยเฉพาะอย่างยิ่งมลพิษทางน้ำบวบบ่อมีความรุนแรงมากขึ้นสาเหตุเกิดจากการเจริญเติบโตอย่างรวดเร็วของภาคอุตสาหกรรมที่มีการพัฒนาระบบการผลิตเพื่อเพิ่มปริมาณสินค้า เพราะในอุตสาหกรรมต่างๆ จำเป็นต้องใช้น้ำในกระบวนการผลิต เช่น โรงงานฟอกสีย้อมในอุตสาหกรรมสิ่งทอ ที่มักมีสีย้อมและสารเคมีบางชนิดตกค้างอยู่ในน้ำทั้งจำนวนมากและบำบัดได้ยาก แม้ว่าสีย้อมจะมีความเป็นพิษต่อตัวน้ำและอุณหภูมิสูง ทำให้เกิดผลเสียต่อระบบนิเวศด้วยเหตุนี้จึงมีความจำเป็นที่ต้องควบคุมมาตรฐานน้ำทึ่งของโรงงานอุตสาหกรรมก่อนปล่อยลงสู่แหล่งน้ำธรรมชาติ [1]

โดยทั่วไปการบำบัดน้ำเสียจากโรงงานอุตสาหกรรมสิ่งทอ นิยมใช้ระบบบำบัดทางชีวภาพหรือระบบเติมสารเคมี ซึ่งสามารถบำบัดตะกอนแขวนลอยและ BOD ได้ในระดับดี แต่ในส่วนของสีและสารอื่นๆ ที่ไม่สามารถบำบัดได้ ยังคงอยู่ในน้ำทึ่งที่ผ่านการบำบัดแล้ว ดังนั้น การกำจัดสีย้อมด้วยวิธีการคุณภาพจึงเป็นวิธีหนึ่งที่น่าสนใจและมีประสิทธิภาพ ซึ่งตัวคุณภาพที่ภาคอุตสาหกรรมนิยมใช้คือ ถ่านกัมมันต์ (Activated Carbon) เนื่องจากมีพื้นที่ผิวสำหรับการดูดซับมาก แต่ในทางปฏิบัติถ่านกัมมันต์ยังคงมีราคาค่า昂ขึ้นแพง ดังนั้นจึงมีการพัฒนาตัวคุณภาพที่เตรียมได้จากธรรมชาติเพื่อเป็นทางเลือกในการบำบัดน้ำเสียจากโรงงานฟอกย้อมสี และส่งเสริมให้น้ำวัสดุเหลือทิ้งในห้องถังมาสร้างคุณค่า [2-5]

ผักตบชวาเป็นวัชพืชที่มีการขยายพันธุ์อย่างรวดเร็วในระยะเวลาอันสั้นก่อให้เกิดปัญหาต่อระบบนิเวศน์ทางน้ำและยังขัดขวางการไหลของน้ำ โดยองค์ประกอบส่วนใหญ่ของรากผักตบชวาเป็นเซลลูโลส ซึ่งสามารถนำมาราพัฒนาเพื่อเพิ่มประสิทธิภาพในการดูดซับ

สีย้อมและเป็นการกำจัดผักตบชวาอีกรูปแบบหนึ่ง ดังนั้น งานวิจัยนี้จึงมีวัตถุประสงค์เพื่อทดลองและประเมินคุณภาพของสารเคมีที่เหมาะสมด้วยวิธีการทดลองแบบง่าย คือการทดลองของความเป็นกรดเบส ปริมาณตัวคุณภาพ ระยะเวลาในการดูดซับ ความเข้มข้นเริ่มต้นของสีย้อม รวมทั้งไอโซเทอมและจำนวนสารตัวคุณภาพที่ต้องการ ทั้งนี้เพื่อให้ได้ผลลัพธ์ที่ดีที่สุด

2. วิธีการทดลอง

2.1 การเตรียมตัวคุณภาพ

เก็บผักตบชวาจากแหล่งน้ำสาธารณะและนำส่วนที่เป็นรากมาล้างทำความสะอาด นำไปตากแดดและนำมาอบที่อุณหภูมิ 60 องศาเซลเซียส จนแห้ง หรือนำหัวกของรากผักตบชวาคงที่ จากนั้นนำมารบดละเอียดโดยใช้เครื่องบดและร่อนให้มีขนาด 0.25-0.50 มิลลิเมตร แซ่รากผักตบชวาที่บดละเอียดแล้วในสารละลายน้ำเดี่ยมไฮดรอกไซด์ความเข้มข้น 0.1 โมลาร์ ล้างด้วยน้ำปราศจากไออกอนจนได้ พีเอช 7 อบให้แห้งที่อุณหภูมิ 105 องศาเซลเซียส จากนั้นทำการตัดและแยกรากผักตบชวาวาบด ในอัตราส่วน 10:1 นำมาให้ความร้อนที่ oil bath และปั่นกวนเป็นระยะเวลา 20 นาที และหยดปฏิกิริยาด้วยไดเมทิลอะเซตอามีด (CH₃CON(CH₃)₃) นำมากรองและล้างด้วยอะซีโตน น้ำปราศจากไออกอน และไดเมทิลอะเซตอามีด ตามลำดับ นำมาอบที่อุณหภูมิ 80 องศาเซลเซียส 12 ชั่วโมง จะได้ตัวคุณภาพสำหรับการทดลอง

2.2 การคุณภาพสีย้อมโรคามีน บี

การทดลองแบบง่าย (batch) ทำโดยชั่งตัวคุณภาพ 0.1 กรัม ใส่ลงในบีกเกอร์ ปีเปตสารละลายน้ำสีย้อมโรคามีน บี(C₂₈H₃₁ClN₂O₃) ความเข้มข้น 80 มิลลิกรัมต่อลิตร ที่พีเอช 6 ปริมาตร 50.00 มิลลิลิตร จากนั้นนำไปปั่นกวนตามเวลาที่กำหนด นำไปวิเคราะห์หาความเข้มข้นของสีย้อมโรคามีน บี ที่เหลือหลังการคุณภาพ

อยู่ด้วยเครื่องอัลตราไวโอเลต วิสิเบิล สเปกโตรโฟโต มิเตอร์ (UV-Vis Spectrophotometer; UV-VIS: Shimadzu; UV-2450) ที่ความยาวคลื่น 554 นาโนเมตร โดยศึกษาอิทธิพลของพีเอช ปริมาณตัวดูดซึบ เวลาในการดูดซึบ และความเข้มข้นเริ่มต้นของสีย้อม ซึ่งแต่ละอิทธิพลทำการทดลอง 3 ชั้้ แล้วนำผลการทดลองที่ได้มาคำนวณหาร้อยละการดูดซึบตามสมการที่ (1)

$$\%adsorption = \frac{(C_0 - C_t)}{C_0} \times 100 \quad (1)$$

โดยที่

C_0 คือ ความเข้มข้นของสีย้อมโรดามีน บี เริ่มต้น (มิลลิกรัมต่อลิตร)

C_t คือ ความเข้มข้นของสีย้อมโรดามีน บี ที่ดูดซึบเวลาได้ (t) (มิลลิกรัมต่อลิตร)

และคำนวณหาความสามารถในการดูดซึบที่ สภาวะสมดุลตามสมการที่ (2)

$$q_t = \frac{(C_0 - C_e)}{W} V \quad (2)$$

โดยที่

q_t คือ ความสามารถในการดูดซึบที่เวลาได้ (t) (มิลลิกรัมต่อกิโลกรัม)

C_0 คือ ความเข้มข้นของสีย้อมโรดามีน บีเริ่มต้น

C_e คือ ความเข้มข้นของสีย้อมโรดามีน บีที่สมดุล

V คือ ปริมาตรของสารละลายสีย้อมโรดามีน บี (มิลลิลิตร)

W คือ ปริมาณของตัวดูดซึบ (กรัม)

2.3 ตรวจสอบลักษณะเฉพาะของตัวดูดซึบ

การทำการตรวจสอบลักษณะเฉพาะของรากผักตบชวาบด (WHR) และรากผักตบชวาดัดแปร

(WHR-M) ด้วยเครื่องฟูเรย์ทรานฟอร์มอินฟราเรด สเปกโตรสโคปี (FTIR: Perkin Elmer; Spectrum 100)

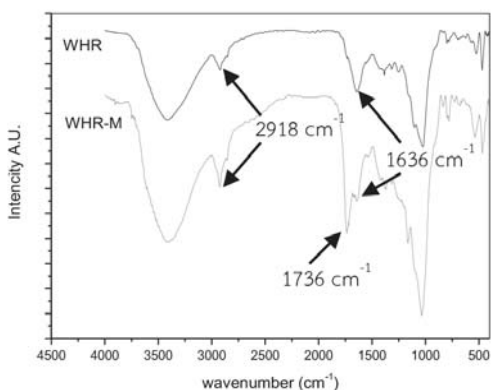
2.4 การหาประจุที่ผิวเป็นศูนย์ (Point of zero charge) ของตัวดูดซึบ

เตรียมสารละลายโซเดียมคลอไรด์ ความเข้มข้น 0.01 มิลลาร์ ที่พีเอช 2.0 ถึง 11.0 จากนั้นนำตัวดูดซึบ 25 มิลลิกรัม ใส่ลงในลงสารละลายโซเดียมคลอไรด์ 50 มิลลิลิตร ที่พีเอชต่าง ๆ บีบวน 24 ชั่วโมง จากนั้น วัดพีเอชหลังการบีบวน [7]

3. ผลการทดลองและอภิปรายผล

3.1 การตรวจสอบลักษณะเฉพาะของตัวดูดซึบ

ผลการตรวจสอบลักษณะเฉพาะของตัวดูดซึบ โดยใช้ FTIR ในช่วงเลขคลื่น 4000-450 cm^{-1} ได้ สเปกตรัม ดังรูปที่ 1 พบร้า รากผักตบชวาและรากผักตบชวาดัดแปรมีสเปกตรัม ที่เลขคลื่น 3700-2800 cm^{-1} แสดงลักษณะของ O-H stretching (Lignocelluloses Structure) ที่ 2918 cm^{-1} แสดงลักษณะ C-H stretching (Alkanes) ที่ 1636 cm^{-1} แสดงลักษณะ R-(C=O)-OR stretching ที่ C-H Symmetric stretching ที่ 1020 cm^{-1} แสดงลักษณะ C-O stretching of $-\text{CH}_3$ group (Lignocelluloses Compound) และที่เลขคลื่น 800-900 cm^{-1} แสดงลักษณะ aromatics compounds [8] และเมื่อนำรากผักตบชวามาดัดแปรด้วยกรดซัคcharicinik พบร้า มีหมู่พังก์ชันที่เลขคลื่น 1736 cm^{-1} เพิ่มขึ้น ซึ่งเป็นเลขคลื่นที่แสดงถึงหมู่คาร์บอนิล (C=O) ของกรด (R-(C=O)-O-H) หมู่พังก์ชันนี้จะถูกเติมให้กับโครงสร้างของรากผักตบชวาผ่านกระบวนการเกิดสารประกอบอีสเตอเรช (Ester Linkage) โดยกรดอินทรีย์จะเข้าทำปฏิกิริยา กับหมู่ OH ในเซลลูโลส



รูปที่ 1 FTIR spectrum ของรากผักตบชวา (WHR)
และรากผักตบชวาดัดแปลง (WHR-M)

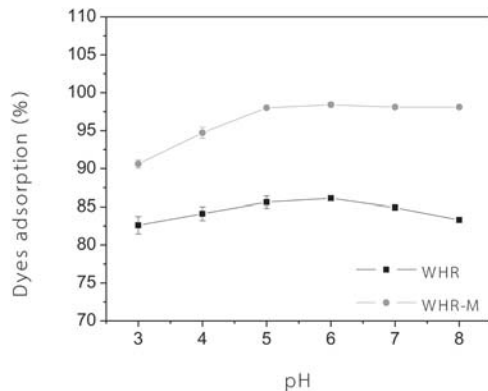
3.2 อิทธิพลของปริมาณตัวดูดซับ

ผลการดูดซับสีอ้อมโดยรวมมี บี ความเข้มข้น 80 มิลลิกรัมต่อลิตร ที่พีเอช 6 ปริมาตร 50 มิลลิลิตร เวลา 60 นาที เมื่อเปลี่ยนแปลงปริมาณตัวดูดซับ 0.05, 0.10 และ 0.50 กรัม พบร้า วิธีวิถีของการดูดซับเท่ากับ 86.60 ± 0.26 , 98.10 ± 0.08 และ 99.50 ± 0.10 ตามลำดับ การเพิ่มปริมาณตัวดูดซับมีผลทำให้ร้อยละการดูดซับเพิ่มสูงขึ้น อย่างไรก็ตาม เมื่อเพิ่มปริมาณ ณ จุดหนึ่งความสามารถในการกำจัดสีอ้อมจะคงที่หรือจะลดลง รากผักตบชวาดัดแปลงปริมาณ 0.10 กรัม มีปริมาณเพียงพอสำหรับการดูดซับ โดยให้ร้อยละการดูดซับเกือบ 100 % ดังนั้นจึงเลือกปริมาณเท่ากับ 0.10 กรัม

3.3 อิทธิพลของพีเอช

พีเอชของสารละลายเป็นปัจจัยสำคัญที่มีผลกระหطمต่อความเข้มข้นโปรตอน (H^+) ในสารละลาย และเกี่ยวข้องกับการดูดซับของโมเลกุลที่บริเวณแอคทีฟ (Active Site) ของตัวดูดซับ โดยรากผักตบชวาดัดแปลง มีค่าปริมาณที่ผิวน้ำเป็นศูนย์ (pH_{pzc}) เท่ากับ 3.3 แสดงว่า เมื่อสารละลายมีความเป็นกรด-เบสมากกว่าค่า pH_{pzc} ผิวของตัวดูดซับจะเกิดการแตกตัวทำให้ผิว

ตัวดูดซับแสดงประจุลบ มีผลทำให้สามารถดูดซับสีอ้อมประจุบวกได้มากขึ้น ดังนั้น เมื่อเปลี่ยนแปลงพีเอช ของสารละลาย 3-8 ดังแสดงในรูปที่ 2 พบว่า ที่พีเอช 3 มีค่าการดูดซับสีอ้อมน้อยเนื่องจากสารละลายเต็มไปด้วยโปรตอน และหมู่ฟังก์ชันบริเวณพื้นผิวตัวดูดซับแสดงประจุเป็นบวก ดังนั้น จะเกิดการแข่งขันในการเข้าจับกับหมู่ฟังก์ชันบนตัวดูดซับระหว่างโปรตอนกับสีอ้อมที่เป็นประจุบวกเหมือนกัน ทำให้ความสามารถในการดูดซับมีแนวโน้มลดลง แต่เมื่อพีเอชของสารละลายมากกว่า 6 จะเห็นได้ว่าการดูดซับเริ่มลดลง เนื่องจากสีอ้อมแสดงลักษณะเป็นสวิตเตอร์ไอโอน (Zwitterion) คือ สีอ้อมแสดงประจุบวกและประจุลบอยู่ในโมเลกุล โดยจะเกิดประจุที่หมู่คาร์บอออกซิล (Carboxyl) ทำให้โมเลกุลของสีอ้อมโรดามีนบี มีขนาดโมเลกุลใหญ่ขึ้น (Dimer) จึงจำเป็นต้องใช้พื้นที่มากในการดูดซับต่อโมเลกุลสีอ้อม ทำให้จำนวนโมเลกุลสีอ้อมต่อหน่วยพื้นที่ตัวดูดซับมีค่าลดลง ดังนั้นร้อยละการดูดซับจึงลดลง ซึ่งสอดคล้องกับงานวิจัยของ Shah และคณะ [9] ดังนั้น จึงเลือกใช้พีเอชของสารละลายเท่ากับ 6 สำหรับการทดลอง

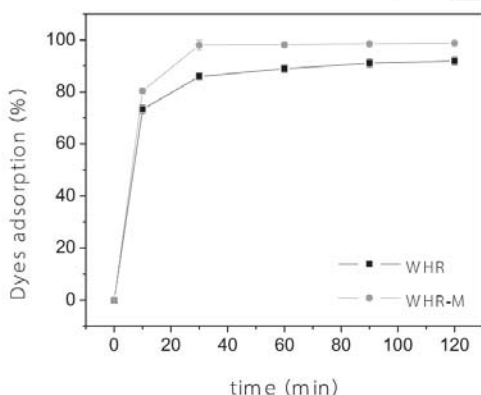


รูปที่ 2 อิทธิพลของพีเอชต่อความสามารถในการดูดซับ

3.4 อิทธิพลของเวลาและจำนวนสารตัวตัวกรอง

ดูดซับ

เมื่อเปลี่ยนแปลงเวลาสำหรับการดูดซับเป็น 10-120 นาที ดังแสดงในรูปที่ 3 พบว่า การเพิ่มระยะเวลาในการดูดซับ ทำให้ปริมาณดูดซับจำเพาะ ณ เวลาใด ๆ มีค่าเพิ่มขึ้น โดยเป็นการเพิ่มขึ้นอย่างรวดเร็วในช่วงแรก (10 นาที) เนื่องจากแรงขับดันและผลต่างของความเข้มข้นของสีย้อมในสารละลายกับปริมาณสีย้อมบนตัวดูดซับที่มาก จากนั้น ปริมาณดูดซับจำเพาะ ณ เวลาใด ๆ จะเพิ่มขึ้นอย่างช้าๆ จนกระทั่งเข้าสมดุล เมื่อเข้าสมดุลแล้วระยะเวลาจะไม่มีผลกระทำใด ๆ กับระบบ และที่เวลา 60 นาที พบว่า มีค่าเบอร์เซ็นต์การดูดซับมากกว่า 90%



รูปที่ 3 อิทธิพลของ pH ต่อความสามารถในการดูดซับ

เมื่อทำการศึกษาอัตราเร็วปฏิกิริยาของการดูดซับโดยใช้แบบจำลองสมการปฏิกิริยาอันดับหนึ่งเทียม (Pseudo-first-order)

$$\log(q_e - q_t) = \log q_e - \frac{k_1}{2.303} t \quad (3)$$

และแบบจำลองสมการปฏิกิริยาอันดับสองเทียม (Pseudo-second-order)

$$\frac{t}{q_t} = \frac{1}{k_2 q_e^2} + \frac{1}{q_e} t \quad (4)$$

โดยที่

q_e คือ ความสามารถในการดูดซับที่สภาวะสมดุล (มิลลิกรัมต่อกิโลกรัม)

q_t คือ ความสามารถในการดูดซับที่ดูดซับ ณ เวลาใด ๆ (มิลลิกรัมต่อกิโลกรัม)

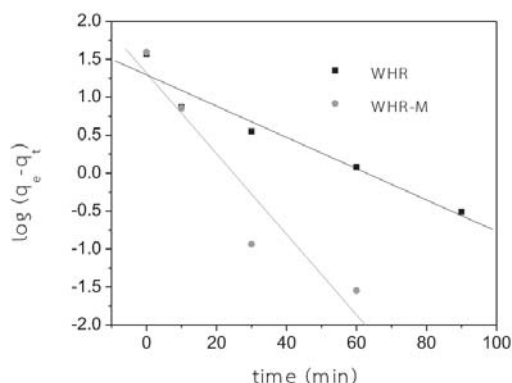
t คือ เวลาที่ใช้ในการดูดซับ (นาที)

k_1 และ k_2 คือ ค่าคงที่อัตราเร็วของปฏิกิริยาอันดับหนึ่ง (ต่อนาที) และค่าคงที่อัตราเร็วของปฏิกิริยาอันดับที่สอง (กรัมต่อมิลลิกรัม-นาที) ตามลำดับ

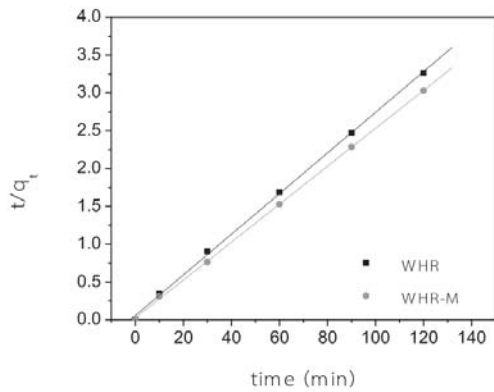
เมื่อนำข้อมูลจากการศึกษาอิทธิพลของเวลา มาเขียนความสัมพันธ์ระหว่าง $\log(q_e - q_t)$ กับเวลา (t) ดังรูปที่ 4(ก) และ t/q_t กับเวลา (t) ดังรูปที่ 4(ข) พบว่า ค่าลักษณะพิเศษของสมการแบบจำลองสมการปฏิกิริยาอันดับสองเทียมให้ผลการทดลองสอดคล้องมากกว่าแบบจำลองสมการปฏิกิริยาอันดับหนึ่งเทียม ดังตารางที่ 1

ตารางที่ 1 ค่าคงที่อัตราการเกิดปฏิกิริยาและอันดับการเกิดปฏิกิริยา

ตัวดูดซับ	ปฏิกิริยาอันดับหนึ่งเทียม			ปฏิกิริยาอันดับสองเทียม		
	q_e (mg/g)	k_1 (1/min)	R^2	q_e (mg/g)	k_2 (g/mg min)	R^2
WHR	19.724	0.046	0.943	38.462	0.012	0.999
WHR-M	20.797	0.122	0.904	40.000	0.033	0.999



(ก) กราฟแสดงความสัมพันธ์ตามสมการปฏิกิริยา อันดับหนึ่งเที่ยม



(ข) กราฟแสดงความสัมพันธ์ตามสมการปฏิกิริยา อันดับสองเที่ยม

รูปที่ 4 กราฟแสดงจนศาสตร์การดูดซับ

ดังนั้นสนับนิษฐานได้ว่า กลไกการดูดซับสีีย้อม โรดามีน บี ของรากผักตบชวาดัดแปรเป็นการดูดซับที่เกิดจากแรงทางเคมี โดยมีค่าคงที่อัตราการเกิดปฏิกิริยา อันดับสองเที่ยมเท่ากับ 0.033

3.5 อิทธิพลของความเข้มข้นและไอโซเทอม การดูดซับ

เมื่อเปลี่ยนแปลงความเข้มข้นตั้งแต่ 20-120 มิลลิกรัมต่อลิตร นำข้อมูลที่ได้ไปศึกษาไอโซเทอมของ การดูดซับ โดยหากความสัมพันธ์ระหว่างปริมาณสีีย้อม

ที่ถูกดูดซับต่อหน่วยน้ำหนักของตัวตู้ดูดซับกับความเข้มข้นสีีย้อมที่เหลืออยู่ที่ภาวะสมดุล เพื่อหาไอโซเทอมที่เหมาะสมและใช้อิบایลักษณะการดูดซับ ซึ่งจะพิจารณาความถูกต้องของไอโซเทอมจากการดูดซับจากค่าสัมประสิทธิ์สหสัมพัทธ์มีความใกล้เคียงหนึ่งมากที่สุด (R^2)

แบบจำลองไอโซเทอมการดูดซับที่ใช้มีสองแบบ คือ แบบจำลองไอโซเทอมของการดูดซับแบบแบ่งเมียร์

$$\frac{1}{q_e} = \frac{1}{q_m} + \frac{1}{K_L q_0} \frac{1}{C_e} \quad (5)$$

โดยที่

q_e คือ ความสามารถในการดูดซับที่ภาวะสมดุล (มิลลิกรัมต่อกิรัม)

q_m คือ ปริมาณสูงสุดของสีีย้อมที่สามารถดูดซับแบบชั้นเดียวต่อตัวตู้ดูดซับ (มิลลิกรัมต่อกิรัม)

C_e คือ ความเข้มข้นของสีีย้อมที่สมดุล

K_L คือ ค่าคงที่แบ่งเมียร์ (ลิตรต่อมิลลิกรัม)

และ แบบจำลองไอโซเทอมของการดูดซับแบบฟรุนเดลิช

$$\log q_e = \log K_F + \frac{1}{n} \log C_e \quad (6)$$

โดยที่

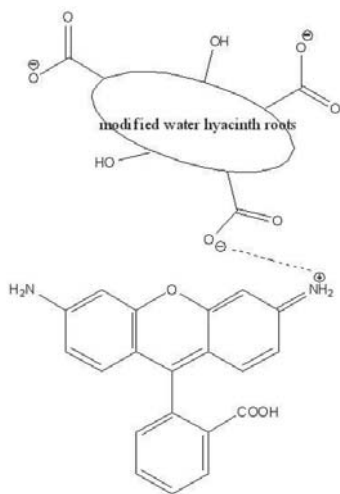
q_e คือ ความสามารถในการดูดซับที่ภาวะสมดุล (มิลลิกรัมต่อกิรัม)

K_F คือ ค่าคงที่ฟรุนเดลิช (มิลลิกรัมต่อกิรัม)

$\frac{1}{n}$ คือ ปัจจัยที่แสดงความไม่เป็นเนื้อเดียวกัน

เมื่อใช้สมการแบ่งเมียร์และฟรุนเดลิช พบว่า รากผักตบชวา (WHR) มีค่าสัมประสิทธิ์สหสัมพัทธ์ของการทดลองสอดคล้องกับสมการฟรุนเดลิชมากกว่า แบ่งเมียร์ อิบายล์ได้ว่า การดูดซับเกิดขึ้นจากแรงดึงดูด เป็นแรงทางเคมีที่เป็นแบบหลายชั้น ในขณะที่ รากผักตบชวาดัดแปร (WHR-M) มีค่าสัมประสิทธิ์สหสัมพัทธ์ของการทดลองสอดคล้องกับสมการแบ่งเมียร์

มากกว่าฟรุนดลิช โดยแบบจำลองของแลงเมียร์ อธิบายได้ว่า สีย้อมโรดามีน ปี จะถูกยึดไว้ที่ตำแหน่งใดตำแหน่งหนึ่งบนพื้นผิวของรากผักตบชาวดัดแปรเท่านั้น (หมายความว่าการดูดซึบสามารถเกิดได้มากที่สุด และมีความหนาเพียงชั้นเดียว) แต่ละตำแหน่งจะสามารถจับสีย้อมได้เพียงตัวเดียวเท่านั้น (รูปที่ 5) ความแตกต่างระหว่างพลังงานของการดูดซึบจะไม่ขึ้นกับปริมาณของสีย้อมที่ถูกดูดซึบลงไปบนพื้นผิว ก่อน [10] จากสมการสามารถคำนวณหาค่าความจุการดูดซึบของตัวดูดซึบได้ ดังแสดงไว้ในตารางที่ 2



รูปที่ 5 ปฏิกิริยาการดูดซึบบนพื้นผิวของรากผักตบชาวดัดแปรกับสีย้อมโรดามีน ปี

ตารางที่ 2 ค่าคงที่ของการดูดซึบแบบแลงเมียร์และ ฟรุนดลิช

ตัวดูดซึบ	แบบจำลองการดูดซึบ แลงเมียร์			แบบจำลองการดูดซึบ ฟรุนดลิช		
	q_m (mg/g)	K_L (L/mg)	R^2	$1/n$	K_F (L/mg)	R^2
WHR	50	0.541	0.884	0.176	24.155	0.912
WHR-M	63	4.000	0.935	0.193	40.179	0.876

เมื่อทำการเปรียบเทียบปริมาณสีย้อมโรดามีน ปี ที่ถูกดูดซึบสูงสุด (q_m) ด้วยรากผักตบชาวดัดแปร กับ วัสดุดูดซึบชนิดอื่นที่นักวิจัยท่านอื่นได้ศึกษามา พบร่วมกับความสามารถในการดูดซึบสูงสุด อยู่ระดับปานกลาง

ดังแสดงในตารางที่ 3 แต่ว่าวัสดุดูดซึบที่เตรียมได้จากการวิจัยนี้ มีขั้นตอนการเตรียมที่น้อยและง่ายกว่า รวมทั้งเวลาที่ใช้ในการดูดซึบสั้นกว่าครึ่งชั่วโมง ๆ ด้วย

ตารางที่ 3 ตารางเปรียบเทียบปริมาณสีเย้อมโรดามิน บี ที่ถูกดูดซับสูงสุด (q_m) ของวัสดุดูดซับที่ใช้ในงานวิจัยอื่น เทียบกับงานวิจัยนี้

ชนิดวัสดุดูดซับ	q_m (mg/g)	อ้างอิง
Banana pith	8.50	[2]
Walnut shell	2.29	[8]
Duolite C-20 resin	28.57	[11]
Sodium montmorillonite	42.19	[12]
Coir pith	203.20	[13]
Tannic acid functionalized graphene	201.21	[14]
WHR-M	63.00	งานวิจัยนี้

4. สรุป

การดูดซับสีเย้อมโรดามิน บี ในสารละลายน้ำโดยใช้ รากผักตบชวาดัดแปรด้วยกรดซักซีนิกเป็นตัวดูดซับ พบร่วมกับสารละลายน้ำพิโซช 6 ใช้เวลาการปั่นกว่า 60 นาที รากผักตบชวาดัดแปร มีความสามารถในการดูดซับ สูงสุด 63 มิลลิกรัมสีเย้อมต่อกรัมตัวดูดซับ จนศาสตร์ ของการดูดซับสอดคล้องกับสมการปฏิกิริยาอันดับสอง เทียม ส่วนไออกซ์เทอมการดูดซับสอดคล้องกับสมการ ลงเมียร์ อธิบายได้ว่า การดูดซับเป็นแบบขั้นเดียวและ พื้นที่ผิวของการดูดซับเป็นปัจจัยการดูดซับที่สำคัญ

5. กิตติกรรมประการ

คณบุรุษวิจัยขอขอบคุณสาขาวิชาเคมีประยุกต์ คณบุรุษวิทยาศาสตร์และศิลปศาสตร์ มหาวิทยาลัย เทคโนโลยีราชมงคลอีสาน สำหรับอุปกรณ์และสารเคมี สำหรับทำวิจัย

6. เอกสารอ้างอิง

- [1] Notification of Ministry of Science, Technology and Environment. "Industrial Effluent Standards for Industrial Plants and Industrial Estates" in the Royal Government Gazette, vol. 113, no. 3, Feb. 13, B.E.2539 (1996).
- [2] C. Namasivayam, N. Kanchana, and R.T. Yamuna, "Waste banana pith as adsorbent for the removal of rhodamine-B from aqueous solution", *Waste Management*, vol. 13, pp. 89-95, 1993.
- [3] M.V. Sureshkumar and C. Namasivayam, "Adsorption behavior of Direct Red 12B and Rhodamine B from water onto surfactant-modified coconut coir pith," *Colloids and Surface A: Physicochemical and Engineering Aspects*, vol. 317, pp. 277-283, 2008.
- [4] H.M.H. Gad and A.A. El-Sayed, "Activates carbon from agricultural by-products for the removal of Rhodamine B from aqueous solution," *Journal of Hazardous Materials*, vol. 168, pp. 1070-1081, 2009.
- [5] Y. Gou, J. Zhao, H. Zhang, S. Yang, J. Qi, Z. Wang and H. Xu, "Use of rice husk-based porous carbon for adsorption of Rhodamine B from aqueous solution," *Dyes and Pigment*, vol. 66, pp. 123-128, 2005.

- [6] A.P. Vieira, S.A.A. Santana, C.W.B. Bezerra, H.A.S. Silva, J.C.P. Melo, E.C.S. Filho and C. Airoldi, "Copper sorption from aqueous solutions and sugar cane spirits by chemically modified babassu coconut (*Orbignya speciosa*) mesocarp," *Chemical Engineering Journal*, vol. 161, pp. 99-105, 2010.
- [7] W.F. Tan, S.J. Lu, X.H.J. Feng, Z. He and L.K. Koopal, "Determination of the point of zero charge of manganese oxides with different methods including and improved salt," *Soil Science*, vol. 173, pp. 277-286, 2008.
- [8] J.C. Zheng, H.M. Feng, M.H.W. Lam, P.K.S. Lam, Y.W. Ding and H.Q. Yu, "Removal of Cu(II) in aqueous media by biosorption using water hyacinth roots as a biosorbent material," *Journal of Hazardous Materials*, vol. 171, pp. 780-785, 2009.
- [9] J. Shah, M.R. Jan, A. Haq and Y. Khan, "Removal of Rhodamine B from aqueous solutions and wastewater by walnut shells: kinetics, equilibrium and thermodynamics studies," *Frontiers of chemical Science and Engineering*, vol. 71, pp. 780-785, 2013.
- [10] N. Tangkaranuruk and K. Tangkaranuruk, *Principle of chemical water quality analysis*, Bangkok: Kasetsart University Press. 2007.
- [11] S. M. Al-Rashed and A. A. Al-Gaid "Kinetic and thermodynamic studies on the adsorption behavior of Rhodamine B dye on Duolite C-20 resin," *Journal of Saudi Chemical Society*, vol. 16, pp. 209-215, 2012.
- [12] P.P. Selvam, S. Preethi, P. Basakaralingam, N. Thinakaran, A. Sivasamy and S. Sivanesan, "Removal of Rhodamine B from aqueous solution by adsorption onto sodium montmorillonite," *Journal of Hazardous Materials*, vol. 155, pp. 39-44, 2008.
- [13] C. Namasivayam, M.D. Kumar, K. Selvi, R.A. Begum, T. Vanathi and R.T. Yamuna, "Waste coir pith-a potential biomass for the treatment of dyeing wastewater," *Biomass and Bioenergy*, vol. 21, pp. 477-483. 2001.
- [14] K. Liu, H. Li, Y. Wang, X. Gou and Y. Duan, "Adsorption and removal of rhodamine B from aqueous solution by tannic acid functionalized graphene," *Colloids and Surface A: Physicochemical and Engineering Aspects*, vol. 477, pp. 35-41, 2015.